

РАСЧЕТ КРИВОЛИНЕЙНЫХ ТРУБЧАТЫХ ОБОЛОЧЕК
ПОЛУАНАЛИТИЧЕСКИМ МЕТОДОМ КОНЕЧНЫХ ЭЛЕМЕНТОВ

Я. Г. САВУЛА, Г. А. ШИНКАРЕНКО

(Львов)

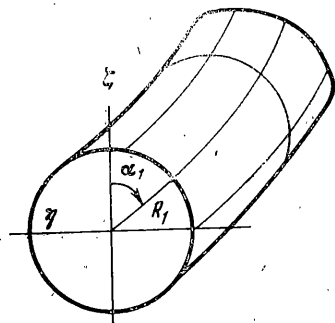
Рассматривается задача об упругом равновесии трубчатой оболочки с криволинейной плоской осью под воздействием внешней поверхностной нагрузки. Используются уравнения тонких упругих оболочек Кирхгофа — Лява, представленные в матричной записи.

Предлагается вариант метода конечных элементов, построенный на разложении искомого перемещений в виде отрезков рядов Фурье по одной переменной и аппроксимации кусочно-эрмитовыми полиномами по другой. Геометрические характеристики срединной поверхности оболочки заменяются в пределах каждого элемента первыми членами их разложений в ряды Тейлора.

Дан пример расчета трубы с эллиптической осью.

1. Пусть срединная поверхность криволинейной трубчатой оболочки (фиг. 1) — резная поверхность $[^1, ^2]$ — образуется «движением» окружности радиуса R_1 ($\eta = -R_1 \sin \alpha_1$, $\xi = R_1 \cos \alpha_1$, $0 \leq \alpha_1 < 2\pi$) по произвольной плоской направляющей: $x = R_2 \chi(\alpha_2)$, $y = R_2 \xi(\alpha_2)$, $\alpha_2^0 \leq \alpha_2 \leq \alpha_2^e$.

Координатные линии $\alpha_1 = \text{const}$, $\alpha_2 = \text{const}$ образованной поверхности являются линиями главных кривизн. Для ее коэффициентов поверхности являются линиями главных кривизн A_1 , A_2 и радиусов главных кривизн r_1 , r_2 получаем выражения



Фиг. 1

$$A_1 = R_1, \quad A_2 = R_2 t(\alpha_1, \alpha_2), \quad r_1 = R_1$$

$$r_2 = R_2 \frac{t(\alpha_1, \alpha_2)}{\tau_2(\alpha_2) \sin \alpha_1}, \quad \tau_2(\alpha_2) = \frac{\xi'' \chi' - \xi' \chi''}{(\chi')^2 + (\xi')^2}$$

$$t(\alpha_1, \alpha_2) = [(\chi')^2 + (\xi')^2]^{1/2} \left\{ 1 + \right.$$

$$\left. + \sin \alpha_1 \frac{R_1}{R_2} \frac{\xi'' \chi' - \xi' \chi''}{[(\chi')^2 + (\xi')^2]^{1/2}} \right\}$$

Соотношения Гаусса — Кодаци для рассматриваемой трубчатой поверхности приводятся к формуле $\partial t / \partial \alpha_1 = (R_1 / R_2) \tau_2 \cos \alpha_1$.

Предположим, как обычно, что срединная поверхность оболочки не содержит особых точек, т. е.

$$t(\alpha_1, \alpha_2) \neq 0, \quad \alpha_1, \alpha_2 \in \Omega, \quad \Omega = \{0 \leq \alpha_1 < 2\pi, \quad \alpha_2^0 \leq \alpha_2 \leq \alpha_2^e\}$$

В вариационной постановке задача о линейной упругой деформации оболочки эквивалентна задаче о минимуме квадратичного функцио-

нала [2, 4]:

$$L(U) = \iint_{\Omega} [(CU)^T BCU - 2U^T P] t d\alpha_1 d\alpha_2, \quad P = \left(\frac{P_1}{E}, \frac{P_2}{E}, \frac{P_n}{E} \right)^T \quad (1.1)$$

$$C = \delta \begin{vmatrix} \partial_1 & 0 & 1 \\ b c \tau_2 & b \partial_2 & b s \tau_2 \\ b \partial_2 & \partial_1 - b c \tau_2 & 0 \\ \partial_1 & 0 & -\partial_{11} \\ b c \tau_2 & b s \partial_2 b \tau_2 & -b(\partial_2 b \partial_2 - c \tau_2 \partial_1) \\ 2b \partial_2 & 2b s \tau_2 (\partial_1 - b c \tau_2) & -2b(\partial_{12} - b c \tau_2 \partial_1) \end{vmatrix}$$

$$\delta = \frac{h}{R_1}, \quad \partial_i = \frac{\partial}{\partial \alpha_i}, \quad \partial_{ij} = \frac{\partial^2}{\partial \alpha_i \partial \alpha_j}, \quad b = \frac{R_1}{R_2 t}, \quad s = \sin \alpha_1, \quad c = \cos \alpha_1$$

$$B = \frac{1}{1 + \nu} \begin{vmatrix} 1 & \nu & 0 & 0 & 0 & 0 \\ 1 - \nu & 1 - \nu & 0 & 0 & 0 & 0 \\ \nu & 1 & 0 & 0 & 0 & 0 \\ 1 - \nu & 1 - \nu & 0 & 0 & 0 & 0 \\ 0 & 0 & \frac{1}{2} & 0 & 0 & 0 \\ 0 & 0 & 0 & \frac{\delta^2}{12(1-\nu)} & \frac{\nu \delta^2}{12(1-\nu)} & 0 \\ 0 & 0 & 0 & \frac{\nu \delta^2}{12(1-\nu)} & \frac{\delta^2}{12(1-\nu)} & 0 \\ 0 & 0 & 0 & 0 & 0 & \frac{\delta^2}{24} \end{vmatrix}$$

на множестве вектор-функций $U = (u/h, v/h, w/h)^T$, $u, v \in W_2^1(\Omega)$, $w \in W_2^2(\Omega)$, удовлетворяющих на краях $\alpha_2 = \text{const}$ геометрическим граничным условиям. Здесь h — толщина оболочки, C — матрица дифференциальных операторов, B — квадратная матрица с постоянными коэффициентами, ν — коэффициент Пуассона, E — модуль Юнга, P — вектор поверхностной нагрузки. Усилия $\sigma = (Eh)^{-1}(T_1, T_2, S, M_1/\delta h, M_2/\delta h, H/\delta h)^T$, возникающие в оболочке, вычисляются по формуле $\sigma = B\varepsilon$, где вектор деформаций $\varepsilon = (\varepsilon_1, \varepsilon_2, \omega, R_1 \kappa_1, R_1 \kappa_2, 2R_1 \tau)^T$ связан с перемещениями U соотношением $\varepsilon = CU$.

2. Разделим область Ω на полосы $\Omega_i = \{0 \leq \alpha_1 < 2\pi, \alpha_2^{i-1} \leq \alpha_2 \leq \alpha_2^i\}$ — конечные элементы. Считая ширину $h_{i, i-1} = \alpha_2^i - \alpha_2^{i-1}$ элемента малой, заменим на Ω_i функции $t(\alpha_1, \alpha_2)$, $\tau_2(\alpha_2)$, $P(\alpha_1, \alpha_2)$ первыми членами их разложений в ряды Тейлора по переменной α_2 , т. е.: $t(\alpha_1, \alpha_2) = t(\alpha_1, \alpha_2^*)$; $\tau_2(\alpha_2) = \tau_2(\alpha_2^*)$, $P(\alpha_1, \alpha_2) = P(\alpha_1, \alpha_2^*)$, $\alpha_1, \alpha_2 \in \Omega_i$, $\alpha_2^* \in [\alpha_2^{i-1}, \alpha_2^i]$.

В силу принятого допущения матрицу C на Ω_i можно записать в виде произведения матриц

$$C = AD_1 D_2 \quad (2.1)$$

$$A = \delta \begin{vmatrix} 0 & 0 & 1 & 0 & 0 & 0 & 1 & 0 & 0 & 0 & 0 & 0 \\ b c \tau_2 & 0 & 0 & 0 & b & 0 & b s \tau_2 & 0 & 0 & 0 & 0 & 0 \\ 0 & b & 0 & -b c \tau_2 & 0 & 1 & 0 & 0 & 0 & 0 & 0 & 0 \\ 0 & 0 & 1 & 0 & 0 & 0 & 0 & 0 & 0 & 0 & -1 & 0 \\ b c \tau_2 & 0 & 0 & 0 & b^2 s \tau_2 & 0 & 0 & 0 & -b^2 & -b c \tau_2 & 0 & 0 \\ 0 & 2b & 0 & -2b^2 s c \tau_2^2 & 0 & 2b s \tau_2 & 0 & 2b^2 c \tau_2 & 0 & 0 & 0 & -2b \end{vmatrix}$$

$$D_i = \begin{vmatrix} d_i & 0 & 0 \\ 0 & d_i & 0 \\ 0 & 0 & d_{ii} \end{vmatrix} \quad (i=1, 2), \quad d_1 = \begin{vmatrix} 1 & 0 \\ 0 & 1 \\ \partial_1 & 0 \end{vmatrix}$$

$$d_{11}^T = \begin{vmatrix} 1 & 0 & 0 & \partial_1 & \partial_{11} & 0 \\ 0 & 1 & 0 & 0 & 0 & \partial_1 \\ 0 & 0 & 1 & 0 & 0 & 0 \end{vmatrix}, \quad d_2 = \begin{vmatrix} 1 \\ \partial_2 \end{vmatrix}, \quad d_{22} = \begin{vmatrix} 1 \\ \partial_2 \\ \partial_{22} \end{vmatrix}$$

Решение задачи о минимуме квадратичного функционала (1.1) представим в виде

$$U = \sum_{m=0}^M \varphi_m(\alpha_1) \psi_m(\alpha_2) \quad (2.2)$$

$\varphi_m(\alpha_1) = \cos^{1/2} m \alpha_1$ при $(-1)^m > 0$; $\varphi_m(\alpha_1) = \sin^{1/2} (m+1) \alpha_1$ при $(-1)^m < 0$ где $\psi_m(\alpha_2)$ — вектор-функции, которые будут определены ниже. Подставляя (2.2) в функционал (1.1) и учитывая соотношение (2.1), получаем

$$L(U) = \sum_{i=1}^e \left\{ \sum_{m, n=0}^M \int_{\alpha_2^{i-1}}^{\alpha_2^i} (D_2 \psi_m)^T B_2 D_2 \psi_n d\alpha_2 - \right.$$

$$\left. - 2 \sum_{m=0}^M \int_{\alpha_2^{i-1}}^{\alpha_2^i} \psi_m^T \int_0^{2\pi} \varphi_m^T t d\alpha_1 d\alpha_2 \right\} \quad (2.3)$$

$$B_2 = \int_0^{2\pi} (D_1 \varphi_m)^T A^T B A D_1 \varphi_n t d\alpha_1$$

Таким образом, для решения задачи о минимуме квадратичного функционала (1.1) можно построить одномерные кусочно-полиномиальные аппроксимации функций $\psi_m(\alpha_2)$ на заданной совокупности узловых точек $\{\alpha_2^0, \alpha_2^1, \dots, \alpha_2^{e-1}, \alpha_2^e\}$. В частности, следующая аппроксимация функции $\psi_m(\alpha_2)$ на $[\alpha_2^{i-1}, \alpha_2^i]$ не выводит из области определения функционала

$$\psi_m(\alpha_2) = N^i \mathbf{q}_m^i \quad (2.4)$$

$$N^i = (N_{i-1}, N_i), \quad N_\lambda = \begin{vmatrix} H_{\lambda 0} & 0 & 0 & 0 \\ 0 & H_{\lambda 0} & 0 & 0 \\ 0 & 0 & H_{\lambda 1} & H_{\lambda 2} \end{vmatrix} \quad (\lambda = i-1, i), \quad H_{\lambda 0} = \frac{1}{h_{\lambda\theta}} (\alpha_2 - \alpha_{\theta 2}),$$

$$H_{\lambda 1} = H_{\lambda 0}^2 (1 + 2H_{\theta 0}), \quad H_{\lambda 2} = H_{\lambda 0}^2 H_{\theta 0} h_{\theta \lambda},$$

$$\mathbf{q}_m^i = (\mathbf{q}_{m, i-1}^T, \mathbf{q}_{m, i}^T)^T, \quad \theta = i \text{ при } \lambda = i-1, \quad \theta = i-1 \text{ при } \lambda = i$$

Здесь $\mathbf{q}_{m\lambda}$ — вектор неизвестных узловых коэффициентов в разложениях вида (2.2) функций $u/h, v/h, w/h, \partial_2 w/h$ при $\alpha_2 = \alpha_2^\lambda$.

На множестве решений (2.2), (2.4) функционал (1.1) превращается в квадратичную форму

$$L = \sum_{i=1}^e \sum_{m, n=0}^M \mathbf{q}_m^{iT} (K_{mn}^i \mathbf{q}_n^i - 2\mathbf{F}_m^i), \quad K_{mn}^i = \int_{\alpha_2^{i-1}}^{\alpha_2^i} (D_2 N^i)^T B_2 D_2 N^i d\alpha_2 \quad (2.5)$$

Отсюда находим, что значения параметров \mathbf{q}_m^i , доставляющих минимум квадратичной форме (2.5), являются решениями системы линейных алгеб-

раических уравнений

$$\sum_{i=1}^e \sum_{n=0}^M (K_{mn}^i \mathbf{q}_n^i - \mathbf{F}_m^i) = 0 \quad (m=0, 1, \dots, M)$$

Учитывая блочную структуру матриц D_2 , N^i , B_2 при их перемножении, получаем выражения для коэффициентов $k_{\alpha\beta}$, f_α ($\alpha, \beta = \overline{1, 4}$) блоков $K^{\lambda\theta}$, \mathbf{F}^λ ($\lambda, \theta = \overline{1, 2}$) матриц K_{mn}^i , \mathbf{F}_m^i соответственно

$$k_{11} = \kappa \left\{ (g+f) [\tau_2^2 S_{00}^{120} + \nu \tau_2 (S_{10}^{010} + S_{01}^{010}) + S_{11}^{-100}] J_{00}^{00} + \frac{1}{2} \left(1 + \frac{\delta^2}{3} \right) S_{00}^{100} J_{11}^{00} \right\}$$

$$k_{12} = \kappa \left\{ [(\nu S_{10}^{000} + \tau_2 S_{00}^{110}) g + (\nu S_{10}^{101} + \tau_2 S_{00}^{211}) \tau_2 f] J_{01}^{00} + \frac{1}{2} \left[S_{01}^{000} - \left(S_{00}^{110} - \frac{\delta^2}{3} S_{01}^{101} \right) \tau_2 - \frac{\delta^2}{3} \tau_2^2 S_{00}^{211} \right] J_{10}^{00} \right\}$$

$$k_{22} = \kappa \left\{ \frac{1}{2} \left[S_{11}^{-100} - \tau_2 (S_{10}^{010} + S_{01}^{010}) + \tau_2^2 \left(S_{00}^{120} + \frac{\delta^2}{3} S_{11}^{120} \right) - \frac{\delta^2}{3} \tau_2^3 (S_{01}^{212} + S_{10}^{212}) + \frac{\delta^2}{3} \tau_2^4 S_{00}^{322} \right] J_{00}^{00} + (g S_{00}^{100} + f \tau_2^2 S_{00}^{302}) J_{11}^{00} \right\}$$

$$k_{1,2+j} = \kappa \left\{ [(S_{10}^{-100} + \nu \tau_2 (S_{00}^{010} + S_{10}^{001}) + \tau_2^2 S_{00}^{111}) g - (S_{12}^{-100} + \nu \tau_2 (S_{02}^{010} + S_{11}^{010}) + \tau_2^2 S_{01}^{120}) f] J_{00}^{0j} - \frac{\delta^2}{6} (S_{01}^{100} - \tau_2 S_{00}^{210}) J_{11}^{0j} - f (\nu S_{10}^{100} + \tau_2 S_{00}^{210}) J_{02}^{0j} \right\}$$

$$k_{2,2+j} = \kappa \left\{ [(\nu S_{00}^{000} + \tau_2 S_{00}^{101}) g - (\nu S_{02}^{101} + \tau_2 S_{01}^{211}) f \tau_2] J_{10}^{0j} - \frac{\delta^2}{6} \tau_2 [S_{11}^{101} - \tau_2 (S_{10}^{211} + S_{01}^{211}) + \tau_2^2 S_{00}^{321}] J_{01}^{0j} - f \tau_2 S_{00}^{301} J_{12}^{0j} \right\}$$

$$k_{2+1,2+j} = \kappa \left\{ [(S_{00}^{-100} + 2\nu \tau_2 S_{00}^{001} + \tau_2^2 S_{00}^{102}) g + (S_{22}^{-100} + \nu \tau_2 (S_{21}^{010} + S_{12}^{010}) + \tau_2^2 S_{11}^{120}) f] J_{00}^{1j} + f (\nu S_{20}^{100} + \tau_2 S_{10}^{210}) J_{02}^{1j} + f (\nu S_{02}^{100} + \tau_2 S_{01}^{210}) J_{20}^{1j} + \frac{\delta^2}{6} [S_{11}^{100} - \tau_2 (S_{01}^{210} + S_{10}^{210}) + \tau_2^2 S_{00}^{320}] J_{11}^{1j} + f S_{00}^{300} J_{22}^{1j} \right\}$$

$$f_l = \int_{\alpha_2^{i-1}}^{\alpha_2^i} H_{\lambda_0} d\alpha_2 \int_0^{2\pi} \varphi_m p_l / E t d\alpha_1, \quad f_{2+l} = \int_{\alpha_2^{i-1}}^{\alpha_2^i} H_{\lambda_l} d\alpha_2 \int_0^{2\pi} \varphi_m p_n / E t d\alpha_1$$

$$g = \frac{1}{1-\nu}, \quad f = \frac{\delta^2}{12(1-\nu)}, \quad \kappa = \frac{R_1}{R_2} \frac{\delta^2}{1+\nu} \quad (l=1,2)$$

$$J_{pq}^{0\mu} = \int_{\alpha_2^{i-1}}^{\alpha_2^i} \frac{d^p H_{\lambda p}}{d\alpha_2^p} \frac{d^q H_{\theta q}}{d\alpha_2^q} d\alpha_2, \quad S_{pq}^{0\mu\theta} = \int_0^{2\pi} \cos^\mu \alpha_1 \sin^\theta \alpha_1 b^p \frac{d^p \varphi_m}{d\alpha_1^p} \frac{d^q \varphi_n}{d\alpha_1^q} d\alpha_1$$

Коэффициенты $k_{\beta\alpha}$ ($\beta > \alpha$) вычисляются по формулам для $k_{\alpha\beta}$, в которых произведены циклические замены λ, θ и m, n .

Интегралы $J_{pq}^{\rho\mu}$, входящие в формулы для коэффициентов $k_{\alpha\beta}$, можно вычислить, используя соотношение

$$\int_{\alpha_2^{i-1}}^{\alpha_2^i} (\alpha_2 - \alpha_2^{i-1})^\rho (\alpha_2 - \alpha_2^i)^\mu d\alpha_2 = (-1)^\mu \frac{\rho! \mu!}{(\rho + \mu + 1)!} h_{i, i-1}^{\rho+\mu+1}$$

Применяя формулы преобразования тригонометрических функций, выразим интегралы $S_{pq}^{\rho\mu\theta}$ через интегралы следующих двух типов:

$$S_1 = \int_0^{2\pi} \frac{\sin a\alpha_1}{(1+\gamma \sin \alpha_1)^\rho} d\alpha_1, \quad S_2 = \int_0^{2\pi} \frac{\cos a\alpha_1}{(1+\gamma \sin \alpha_1)^\rho} d\alpha_1$$

$$\gamma = \frac{R_1}{R_2} \frac{\xi''\chi' - \xi'\chi''}{[(\chi')^2 + (\xi')^2]^{1/2}} < 1$$

Путем несложных преобразований находим

$$S_1 = 0, \quad (-1)^a \geq 0$$

$$S_1 = (-1)^{(a-1)/2} 2 \int_0^{\pi/2} \left[\frac{1}{(1+\gamma \cos \alpha)^\rho} - \frac{1}{(1-\gamma \cos \alpha)^\rho} \right] \cos a\alpha d\alpha, \quad (-1)^a < 0$$

(2.6)

$$S_2 = 0, \quad (-1)^a < 0$$

$$S_2 = (-1)^{a/2} 2 \int_0^{\pi/2} \left[\frac{1}{(1+\gamma \cos \alpha)^\rho} + \frac{1}{(1-\gamma \cos \alpha)^\rho} \right] \cos a\alpha d\alpha, \quad (-1)^a \geq 0$$

Интегралы в формулах (2.6), как показали численные эксперименты, с достаточной точностью можно вычислять по квадратурным формулам Гаусса, применяя их на промежутках между нулями подынтегральных функций.

3. По описанному методу была составлена программа на языке АЛГОЛ-60 для транслятора ТА2М ЭВМ М222.

Рассмотрим пример расчета напряженно-деформируемого состояния замкнутой трубчатой ободочки с эллиптической осью

$$\chi = (1+\varepsilon) \frac{\cos \alpha_2}{(\cos^2 \alpha_2 + \varepsilon_1^2 \sin^2 \alpha_2)^{1/2}}, \quad \xi = (1-\varepsilon) \frac{\varepsilon_1 \sin \alpha_2}{(\cos^2 \alpha_2 + \varepsilon_1^2 \sin^2 \alpha_2)^{1/2}}$$

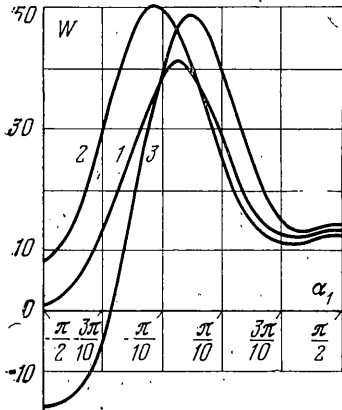
$$\varepsilon_1 = (1-\varepsilon)/(1+\varepsilon)$$

Ободочка предполагается нагруженной внутренним равномерно распределенным давлением $p_1 = p_2 = 0$, $p_n = \text{const}$. Ввиду симметрии рассчитывалась только четверть трубы $0 \leq \alpha_2 \leq \pi/2$, симметричность геометрии ободочки и нагрузки по переменной α_1 позволяют сохранить в разложениях перемещений u , v , w соответственно функции: $\cos \alpha_1$, $\sin 2\alpha_1$, $\cos 3\alpha_1, \dots$; 1 , $\sin \alpha_1$, $\cos 2\alpha_1$, $\sin 3\alpha_1, \dots$.

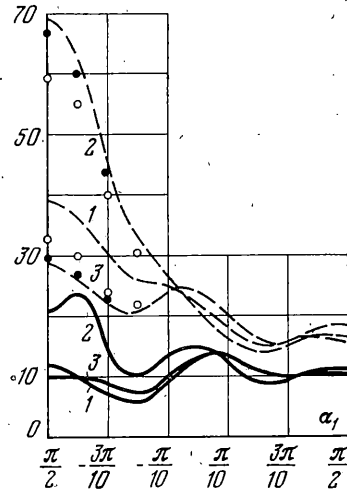
Выбраны следующие значения расчетных параметров $R_2/R_1 = 1.5$, $h/R_1 = 0.05$, $E/p_n = 10^4$, $\nu = 0.3$, $e = 5$. Интегралы (2.6) вычислялись по формулам Гаусса шестого порядка; путем повторного пересчета обеспечивался контроль за точностью вычислений, которая не ниже 10^{-3} .

Расчеты показали, что исследование напряженно-деформированного состояния криволинейной трубы с точностью, достаточной для практики, можно производить при $M=9$.

На фиг. 2, 3 приведены графики прогибов $W=wE/(R_1, p_n)$ и полных напряжений $\sigma_1/p_n, \sigma_2/p_n$ в торообразной оболочке (кривая 1, $\epsilon=0$) и в трубчатой оболочке ($\epsilon=0.5$) в двух сечениях (кривая 2, $\alpha_2=0$ и кривая 3, $\alpha_2=\pi/2$). Сплошными линиями изображены графики прогибов W (фиг. 2)



Фиг. 2



Фиг. 3

и напряжений σ_2/p_n (фиг. 3), пунктирными — напряжения σ_1/p_n (фиг. 3). Расчет произведен при $M=9$. На фиг. 3 приведены также значения σ_1/p_n , соответствующие трем (светлые точки, $e=3$) и четырем (темные точки, $e=4$) элементам в точках, где они не совпадают с кривыми, соответствующими пяти элементам ($e=5$). Дальнейшее увеличение количества элементов не приводит по сравнению с $e=5$ к существенным изменениям результатов.

Эллиптичность направляющей кривой трубчатой оболочки приводит к значительному изменению напряженно-деформированного состояния по сравнению с торообразной оболочкой в зоне отрицательной гауссовой кривизны.

Авторы благодарят Н. П. Флейшмана за обсуждение работы и ценные замечания.

Поступила 17 VII 1978

ЛИТЕРАТУРА

1. Каган В. Ф. Основы теории поверхностей, ч. I. М.—Л., Гостехиздат, 1947.
2. Флейшман Н. П., Савула Я. Г. Приближенный метод решения уравнений безмоментной теории оболочек. Прикл. механ., 1972, т. 8, вып. 3.
3. Черных К. Ф. Линейная теория оболочек, ч. 1. Изд-во ЛГУ, 1962.
4. Черных К. Ф. Линейная теория оболочек, ч. 2. Изд-во ЛГУ, 1964.